SARDINHA, E. C. Z. **Respostas de pêlos radiculares de tomateiro (*Solanum lycopersicum* L. cv Micro-Tom) submetidos a estresse por pH baixo e hipo-osmolaridade**. 2010. 86 f. Tese (Doutorado) - Centro de Energia Nuclear na Agricultura, Universidade de São Paulo, Piracicaba, 2010.

ERRATA REFERENTE A FIGURAS

Folha	Linha	Onde se lê	Leia-se
20	3	Alongamento	afrouxamento
21	15	Super sensibilidade ao ácido giberélico	Resposta constitutiva as giberelinas
21	15	Uma mutação pontual	Domínio mutado
21	20	Super sensível ao ácido giberélico	Resposta constitutiva a giberelina
45	7	Figura 8	Figura 7
48		Figura 9	*
50		Figura 11	**
51		Figura 12	***
55		Figura 15	****
60	19	Figura 19	Figura 20
60	24	Figura 20	Figura 19

Substituir a figura abaixo

*

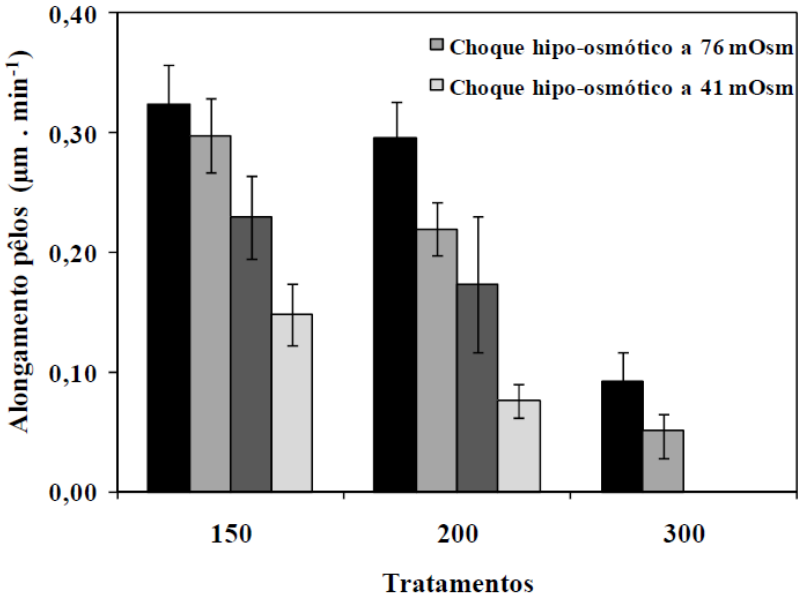

Por esta figura

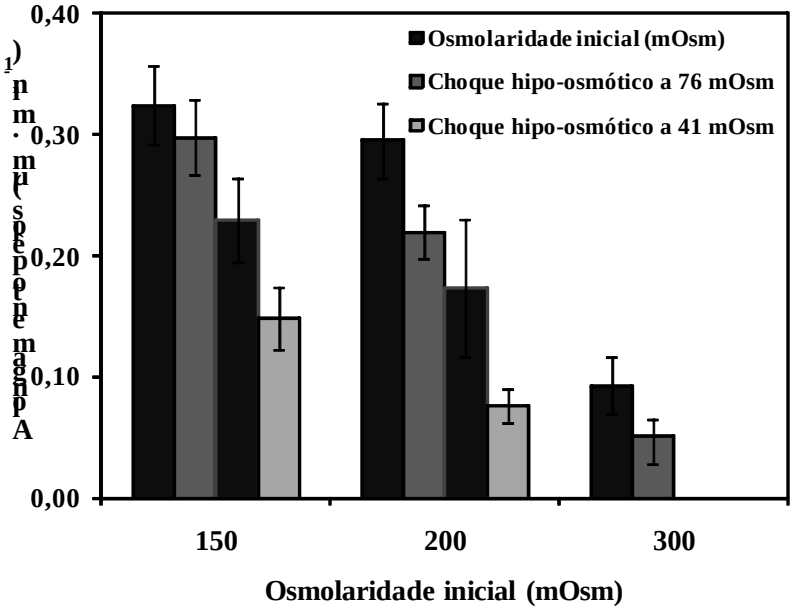

Onde se lê:

**

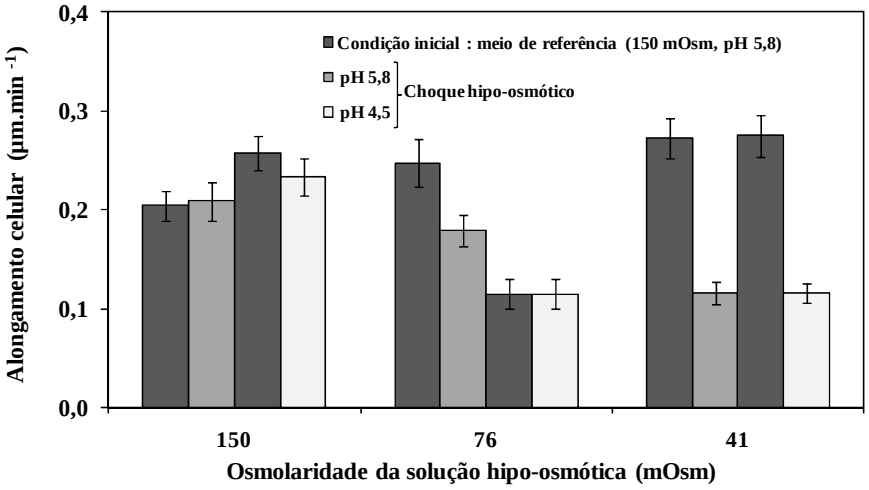

Figura 11 - Efeito de diferentes choques osmóticos, realizados a pH 5,8 e 4,5, sobre a taxa de alongamento ($\mu m.min^{-1}$) absoluto de pêlos radiculares de Micro-Tom. Com exceção do pH e da osmolaridade, que foi ajustada com manitol, as soluções foram semelhantes às descritas na Figura 9. As barras indicam o erro padrão da média (n= 43 a 79).

Leia-se:

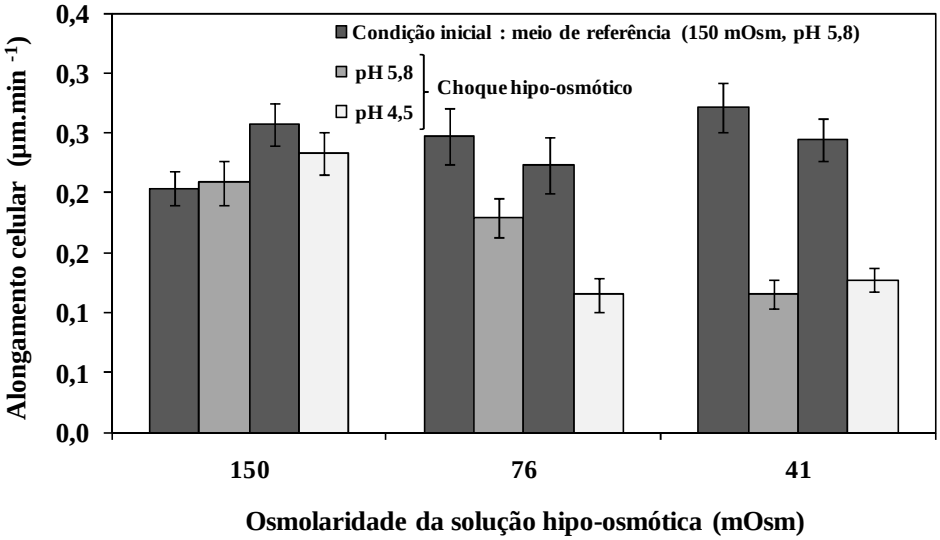

Figura 11 - Efeito de diferentes choques osmóticos, realizados a pH 5,8 e 4,5, sobre a taxa de alongamento ($\mu m.min^{-1}$) absoluto de pêlos radiculares de Micro-Tom. Com exceção do pH e da osmolaridade, que foi ajustada com manitol, as soluções foram semelhantes às descritas na Figura 9. As barras indicam o erro padrão da média (n= 43 a 79).

Onde se lê:

***

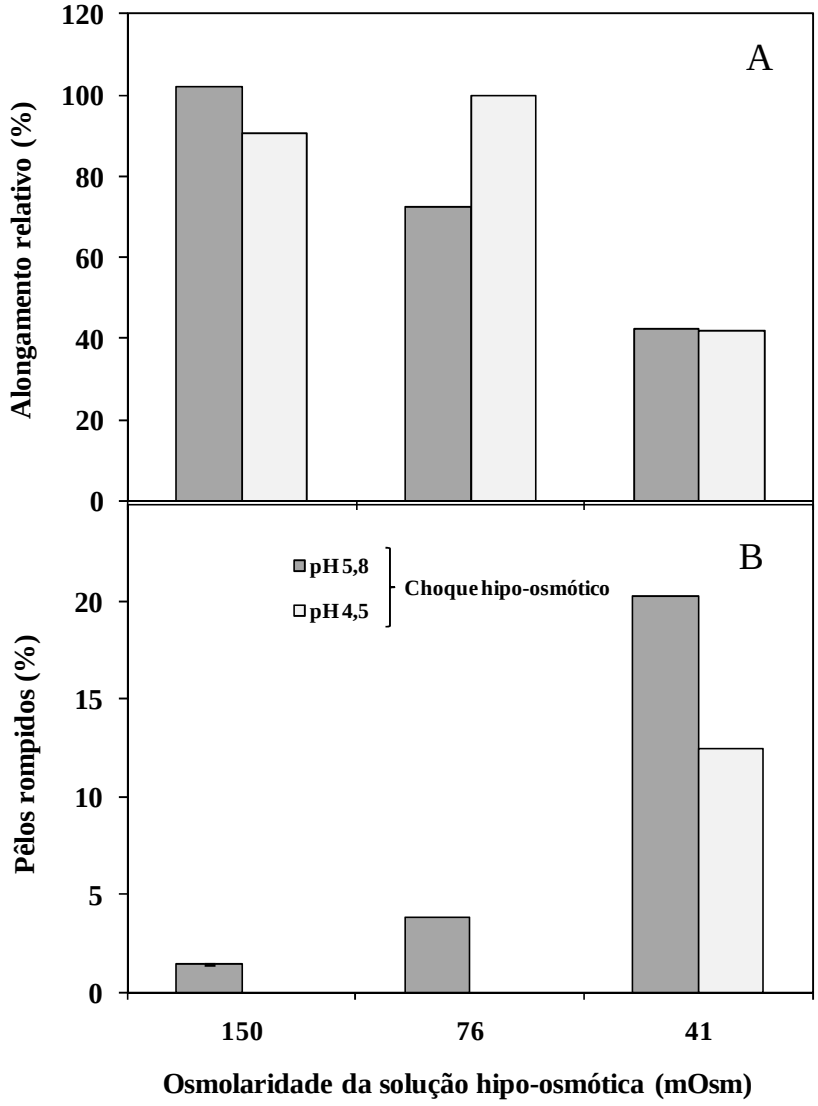

Figura 12 – Efeito de diferentes choques osmóticos, realizados a pH 5,8 e 4,5, sobre a taxa de alongamento relativo (A) e a porcentagem de pêlos rompidos (B) em pêlos radiculares de Micro-Tom. Os dados são relativos ao ensaio apresentado na Figura anterior. O alongamento relativo foi calculado dividindo-se a média da taxa de alongamento dos pêlos em solução hipo-osmótica pela média da solução inicial.

Leia-se:

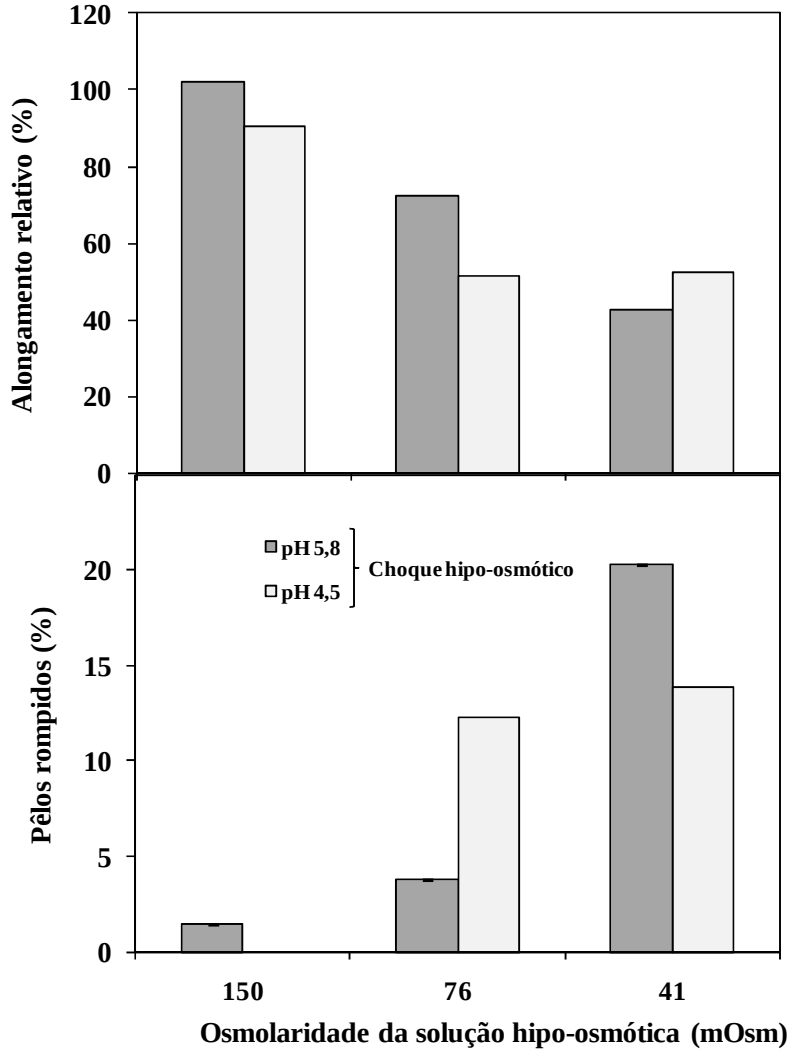

Figura 12 – Efeito de diferentes choques osmóticos, realizados a pH 5,8 e 4,5, sobre a taxa de alongamento relativo (A) e a porcentagem de pêlos rompidos (B) em pêlos radiculares de Micro-Tom. Os dados são relativos ao ensaio apresentado na Figura anterior. O alongamento relativo foi calculado dividindo-se a média da taxa de alongamento dos pêlos em solução hipo-osmótica pela média da solução inicial.

Onde se lê:

****

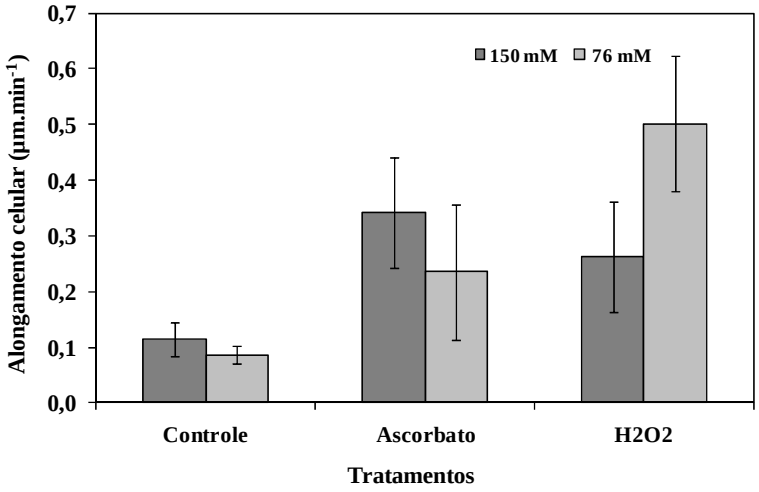

Figura 15 – Efeito do choque hipo-osmóticos, realizados a pH 5,8 na presença de H_2O_2 e ascorbato, sobre a taxa de alongamento ($\mu m.min^{-1}$) absoluto de pêlos radiculares de Micro-Tom. As soluções consistiam de meio de referência (MMin +manitol) + manitol para alcançar a osmolaridade final. A concentração final de H_2O_2 foi de 1 µM e a de ascorbato foi de 100 µM. As barras indicam o erro padrão da média (n= 70 a 89).

Leia-se:

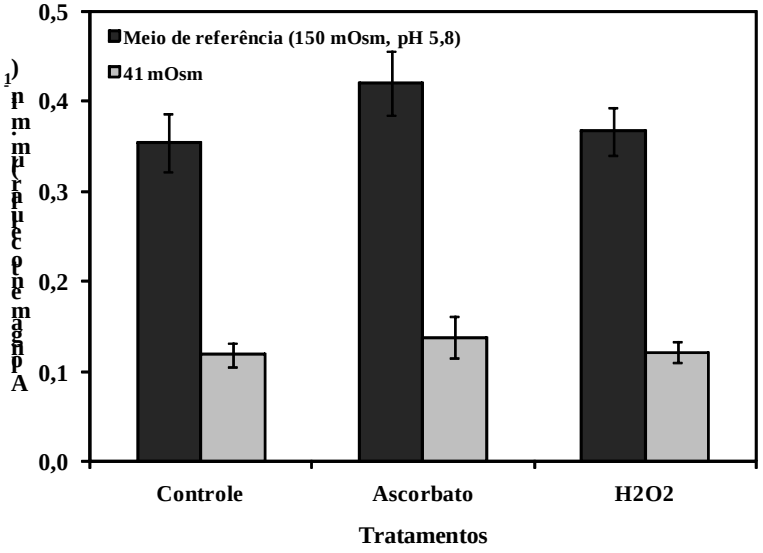

Figura 15 – Efeito do choque hipo-osmóticos, realizados a pH 5,8 na presença de H_2O_2 e ascorbato, sobre a taxa de alongamento ($\mu m.min^{-1}$) absoluto de pêlos radiculares de Micro-Tom. As soluções consistiam de meio de referência (MMin +manitol) e MMin. A concentração final de H_2O_2 foi de 1 µM e a de ascorbato foi de 100 µM. As barras indicam o erro padrão da média (n= 70 a 89).